

神奈川県企業庁 正員 ○ 鈴野信重
 日大生産工学部 " 金井昌希
 東京都立高専 " 三島照彦

1.はじめに

地中埋設管の腐食による事故件数は、むしろ増加の傾向にあり、ガス、電気、電話についても類似の現象の結果となつてあり、総合的に計り知れないものがある。

地中埋設管の腐食に対する環境の特殊条件を除けば、降水などと温度などの自然条件が支配的であり、具体的には土壤水を下げて緩和作用を形成し、また接觸腐食電流を増大させて腐食によるさまである事例の起因となつていろいろなところに見られる。降水および温度等の自然条件が腐食にどのような影響を与えるかを実験的に解明し、実験との関係を考察したので、人工的に降水をさせることにより、土壤水の土質特性変化から連続的、間断的降水による腐食現象の比較、増や器を用いての接觸腐食電流の測定などのモデル実験を行った結果である。今後、これらの実験を通して自然界的実情に即して防腐の研究を進めてゆこうとするのである。

2. 降水による土壤特性と腐食率の変化

Cu板(5×5cm)を極板距離40cmに亘りて、標準的砂利、砂、ロームを用いて人工土壤地下水(Na₂SO₄ 0.08%, NaCl 0.02%)を降水し、その時の土壤特性的経時的变化を測定した結果、Fig.-1に示す傾向曲線を得た。図示のA-b-C-d(A:点は降水時点)において砂利は透水性が高いため降水しても排水孔を瞬時に通過するため、一時的に抵抗値を下げるが、その後的に降水前抵抗値の約10%近くまで上昇する。砂利よりロームにつけては、降水が一定時間、排水孔に留まるため、他のb-cの如く同じ抵抗値を示していく。降水日数が多い時期で6月の15日、少ない時期で7月の2日程度であるとから、腐食性については、砂利 < 砂 < ロームの関係で、地中に浸透した雨水を長時間保水してローム等の地盤が砂利や砂等よりも優れて腐食が進行するといふが理解できる。

3. 連続的および間歇的降水による腐食量の比較

砂利土において地表面下30cmに鋼管(1cm×1cm)を充填した2つの水槽の箱(26.0cm×39.0cm×41.0cm)の一方に3~4日毎に降水し、もう一方には2週間毎に少しづつ1.5ℓの人工土壤地下水を降水し、定期的に採取して腐食量を測定したので、前者を傾向曲線A、後者を傾向

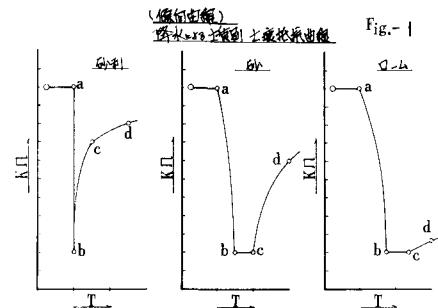


Fig.-1

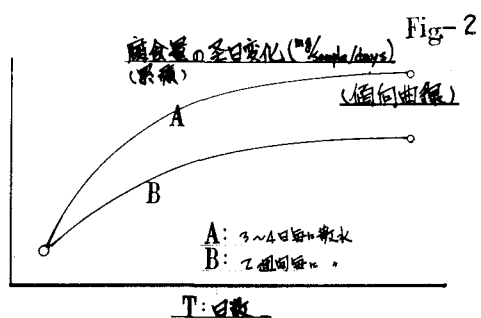


Fig.-2

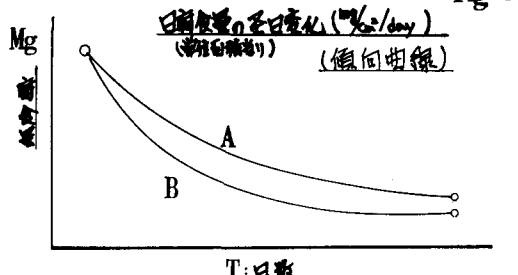


Fig.-3

曲線Bとし、Fig.-2は累積腐食量(mg/sample days)を示す。Fig.-3は単位面積当たりの日腐食量(mg/cm²/day)を示す。これが初期曲線として示したものである。これより腐食は降水量に応じてAの方が早く進行し、腐食量につれてBよりも大きくなることがわかる。

4. 接触腐食電流(Galvanic Current)の測定

Fig.-4は接触腐食電系測定装置配線図であり、導体管(Mosset 2F/4539 B, galv. 90 ohm, NCr18Ni10H12)を用いて接触金属性をすこしにさり生ずる微少な腐食電流を測定するもので、地中埋設金属性の組合せが材料を選択しているため、Feを基準として、温度条件でT=10, 30, 50°Cの三段階につき、Al, Ti, Zr, Zn, (Fe), Ni, Sn, Pb, Cu, Ag, Pt、の各々について測定するものである。

5. 降水および温度と腐食事故件数との関係

Fig.-6, 7, 8 図は、昭和46年から昭和50年までの5年間に亘るデータを基に作成したもので、Fig.-6は、過去5年の平均値を月別にプロットし、他の統計単位と合わせて3ヶ月毎の平均をバーチャートで図示したものである。これより7月と9月の2点で最大を示している。

Fig.-7は、鉛直につなぐFig.-6の降水量同様の方法で作成したもので降水と同傾向である。又、Fig.-8は腐食にともなう事故件数であり、主として小口径管(Φ13mm ~ Φ40mm)埋設部を30cm程度の腐食事故の件数を同時に図示したもので、降水や温度の傾向と全く同じものとなっている。Fig.-5はこれらの一覧データを統計した場内の9地点である。これらFig.-6, 7, 8の実験から、降水と事故件数とは全く同傾向で、降水と鉛直に並んで自然環境が、いかに腐食に影響を及ぼしているかがわかる。又、7月と9月の降水量についてはほぼ同程度であるが、7月の降水日数は9月の降水日数より多いことから、1回の降水量は9月の方が集中していることになる。

温度と事故件数については、腐食と温度の上昇に対しても1ヶ月程度遅れるのは、大抵過小表示をおこすため、地表の温度が、埋設管の位置に達するまでの伝達時間として考えられる。

6. おわりに

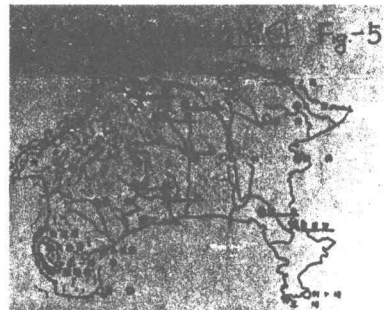
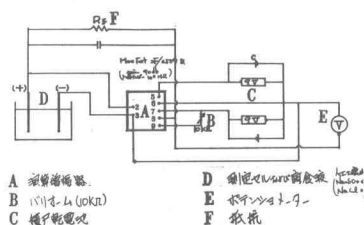
腐食量の測定につき、試験の前処理、後処理の点で難点があつたが、NaClを用い、NaClの空試験による誤差を差し引いてデーターとした。ここで、七種物質、接触腐食電系はじて定量的に図示しておき、結論および実験結果の詳細につきでは、発表時をもって終了したい。なお本論文作成に当り、貴重な御意見や資料を提供して頂いた諸先生方に對し、謝意を表すものである。

(参考文献)

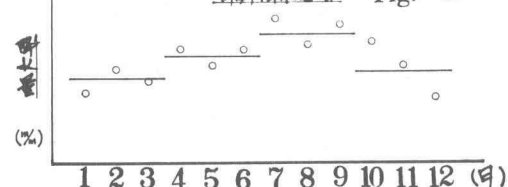
横浜地方気象台「気象日報」

他。

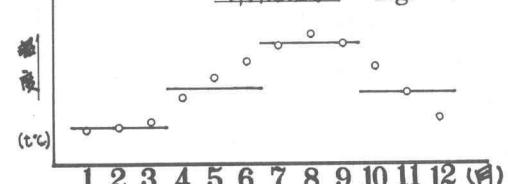
接触腐食電系測定装置配線図 Fig.-4



月別降水量図 Fig.-6



月別温度図 Fig.-7



腐食事故件数図 Fig.-8

